

## II-15 山地斜面流の抵抗則に関する実験的研究

日本水道コンサルタント 正員 地祇 满  
徳島大学工学部 正員 端野 道夫

1. まえがき豪雨時の実斜面流れは、表面流出分の卓越した流れには、いろいろと考えられ、Kinematic wave法では Manning 則が適用されている。しかし、こうした流れは斜面の凹凸、および植生の分布状態等によって変化し、本来、完全乱流のみに適用されるべき Manning 則を形式的に用いることは物理的意味を持た得ないこととなる。本研究は、降雨シミュレーターを用いて表面流を発生させ、その抵抗則を明らかにすると共に、実流域の抵抗則と比較検討を行なうものである。

2. 実験装置および実験方法 降雨シミュレーターは、 $\phi 25\text{mm}$  の塙ビパイプを斜面モデル上に等間隔に並べ、この下面に $\phi 0.7\text{mm}$  の細孔と $10\text{cm}$  間隔に千鳥状に開口させ、これより雨滴を落下げしめるものである。斜面モデルは有効長 $610\text{cm}$ 、有効幅 $34.5\text{cm}$ 、こう配 $\sin\theta=0.155$  のものであり、流量測定用の特殊な三角堰が下流端に設置されている。(図-1 参照) 次に実験ケースはすべて降雨を斜面全域に供給したものであり、流れが定常の場合(type I)と、流量が立ち上がり定常に達した後に降雨を停止し、十分に減するまでの一洪水記録をと、大場合(type II)に大別される。モデル斜面は表面状態を実斜面での表層被覆状態に模擬させ水路床に布、ネット、ステラシート等を組み合せたもの、被覆物のはい場合の四種類に変化させた。布とは少し荒目のさらし布、ネットは一目が $1\text{cm}$  角の六角形状とし、金網、ステラシートとは化成繊維よりなる非常に porous な物質である。また、流れが薄層流であり水深の観測が不可能であるので、下流側 $110\text{cm}$  の区間で流速をトレーサーを流して測定し、これより水深を逆算した。

3. type I に関する  $f'$  (抵抗係数)~ $Re$  (Reynolds 数) 関係 従来、薄層流と二次元等流と仮定すると、層流域においては  $f' = K/Re$  ( $K$ =定数) と表わされ、 $K$  は水路の断面形状、粗滑の状態を parameter として変化し滑面長方形断面では  $K=6$  となることが知られている。<sup>1)</sup> ここで  $f' = 2gIh/U^2$ 、 $Re = gIh/U$  ( $I$ : こう配、 $h$ : 水深、 $U$ : 平均流速、 $g$ : 単位幅当たり流量、 $\mu$ : 動粘性係数) である。図-2 は  $f'$  ~  $Re$  関係を示したものであり  $Re=400 \sim 500$  を前後として層流域から遷移域さらうへ乱流域へと換点が移行しているのが明確に表われている。また、層流域において表面状態の相違は  $f' = 6/Re$  なる直線を上方に平行移動することに反映しているのが注目され、布、ネット、ステラシートの順で抵抗が大きくなっている。降雨が水面を下にくことにより流れに抵抗を生じることも見い出された。これらのことより、従来の定常流に関する関係が、本実験のようすは降雨を供給した定常流についても成立する、ことが確認された。

4.  $F'$  ~  $F \cdot g_{max} L / U$  関係 昨年度<sup>2)</sup>、実山地斜面上の流れを中間流と層流表面流、層流表面流と乱流表面流の共存流れであると考え、これら数種の流れの形態を総合的に表わし得る概念的抵抗則(1)式を提案し、この抵抗

$$U = \frac{1}{F} I^{(3p-2)/3p} g^{1/3p} I^\varphi h^{(1-p)/p} \quad (1) \quad F = I^\varphi \{ t_{pc} (Ug)^{1/3} / L \cdot (g_{max} L / U)^{1-p} \}^{1/p} \quad (2)$$

則の下で等価抵抗係数  $F'$  を(2)式のようすに定義した。ここの  $t_{pc}$  = 到達時間、 $\varphi = 1 + \frac{2}{3}(1/p - 1)(3/p - 1)$  であり  $p$  は時留閾数法の半経験式  $Se = F_p g^p$  の指數であり定常状態において Kinematic wave 法の運動式  $h = h_0 e^p$  の  $p$  と等価である。

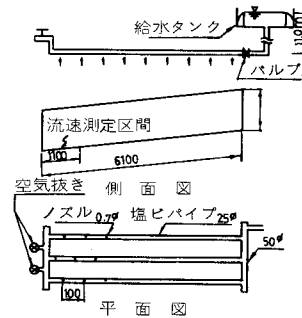


図-1 実験装置概要

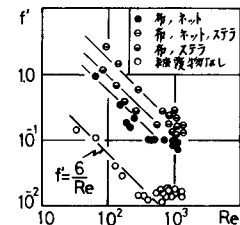


図-2  $f'$  ~  $Re$  関係

さて、(2)式において  $F'(\delta_{max}L/\mu)^{p-1} = I^{p/2} t_{pc} (2g)^{1/2}/L = \text{一定}$  とすると  $\mu \sim \log(F \cdot \delta_{max} L / \mu)$  は双曲線関係となる。図-3は、この関係を昨年の中間流実験および大森、穴内長沢の各ダム流域(20~70 km<sup>2</sup>)のデータについて示したものである。本実験においては、type I(定常流)のデータについて(1)式左辺の  $\mu$  とりが既知量となるので、回帰分析より  $\mu$  と  $F \cdot \delta_{max} L / \mu$  が得られる。図中の△印がこれに相当し、◆印はtype II(非定常流)のデータに貯留関数法の解析を行ない  $\mu$  を推定し、(2)式より  $F$  を得た描点である。

双方とも図中の双曲線に沿って分布しており、 $F$  値は定常、非定常の如何に拘らず  $\mu = \mu'$  の変化に伴なって流水抵抗を定量化しうる parameter であると言えよう。また、工記の仮定のうらかくには流速の逆数にはば等しいと考えられることより、各々の描点は、その平均流速を parameter として平行移動した位置にあると思われる。後來の研究報告においても実斜面工を流下する流速は、中間流はもうろんのこと表面流についてもほぼ一定であると言われていることより  $\mu \sim F \cdot \delta_{max} L / \mu$  関係は、かなりの汎用性を持つものであると考えられる。

5. 実流域の  $\mu'$  値  $F$  は非常に値域が広く、その物理的特性が未だ判然としないから、 $F$  値を  $\mu'$  値に換算して考察を行なう。そこで、 $\mu'$  の定義式に Kinematic wave 法の運動式を用い、さらに  $F$  で表現すると(3)式のようになり、また工記のよう  $F'(\delta_{max} L / \mu)^{p-1} = C(\text{一定})$  なる仮定を導入すれば(4)式のようになることが見い出された。(4)式において、こ

$$f' = 2F' I^{-3p/2+1} (\delta_{max} L / \mu)^{p-2} \quad (3)$$

$$f' = 2C^3 I^{-3p/2+1} (\delta_{max} L / \mu) \quad (4)$$

う配  $I$  の項は  $\mu' < 1$  ならば、ほぼ一定であるから結局  $f'$  は Reynolds 数  $Re = \delta_{max} L / \mu$  と一次関係にあることわかる。図-4は(3)式より得られた  $f'$  と  $Re$  の関係を示したものであり、吉野川支川の宮川内ダム流域(23.1 km<sup>2</sup>)についてもプロットしてある。これによると、 $Re$  の増加にしたがい  $f'$  は(4)式の関係を満たしながら  $1 \sim 10^3$  へと変化し、 $Re = 10^3$  付近で急激に 10 付近にまで減少し、その後再び傾き 1 の直線上に分布しているようである。図には示していないが、同様の傾向が鳴門市板東谷川流域(12.1 km<sup>2</sup>)でも存在し、 $Re = 10^3$  付近まで  $f'$  は  $10$  から  $10^2$  へと増加していく。図中の他の流域については、描点数が少ないので明言はできないが、同様の傾向が見受けられるようであり、各々その傾向線を挿入した。この関係は一見、常識に反するような傾向とはいいろが、type II の表面流実験データについても同様の傾向が認められること、不透過水制の実験において類似した結果が報告されていることより妥当なものであると考えられる。この原因としては、実山地斜面上の突起物(植物、構造物)の random 性等が考えられる。

6. あとがき 以上のことをより  $F$  値の物理特性が、ある程度明らかとなり、その有用性が高められると考えうが、さらに  $\mu'$  と  $f'$  の関連を明らかにする必要があると共に、(2)式より得られる  $F$  値には  $\mu$  と  $t_{pc}$  の推定誤差が入ってくるので、今後この点をさらに改良すべきであろうと思われる。最後に、本研究を進めるにあたりて終始適切なる御教示をいたした徳島大学、杉尾教授、実験に際して御協力いただいた安東氏に深く感謝します。

- 参考文献  
 1) Straub, L.G.; Open Channel Flow at Small Reynolds Numbers, Trans. A.S.C.E., Vol. 123, Nov. 1952  
 2) 塚野・地紙; 吉野川上流域における流速特性の解析, 昭和49年度中四支部講演会講演集  
 3) 石原・小葉・竹; 山地流域における直接流の生起過程, 京大防災研年報第12号B, S. 44. 3.  
 4) 金子・玉川・上村; 小流域における流速構造の研究, 農業技術研究所報告第12号  
 5) 今本・池野; 不透過水制の抵抗特性について(2), 昭和49年度次学会講演会講演集

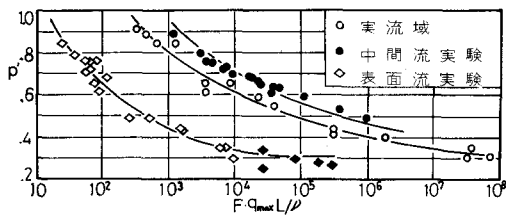


図-3  $\mu' \sim F \cdot \delta_{max} L / \mu$  関係

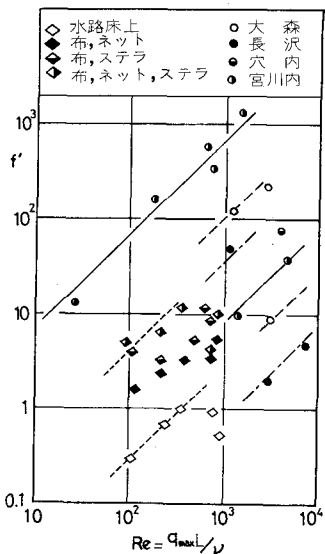


図-4  $f' \sim Re = \delta_{max} L / \mu$  関係